

## О ФОРМАХ ПОТЕРИ УСТОЙЧИВОСТИ УПРУГОГО СТЕРЖНЯ ПРИ УДАРЕ

*B. M. Корнев (Новосибирск)*

При действии на упругие системы нагрузок большой интенсивности, значительно превышающих первое критическое значение, наибольшей скоростью роста прогибов обладает собственная форма, отличная от первой [1]. Если рассматриваются такие нагрузки, естественно ожидать, что характер движения может оказывать существенное влияние волновой процесс, вызванный внезапным приложением нагрузки к упругой системе [2,3].

Асимптотическое исследование процесса выпучивания упругого шарнирно опертого стержня с начальной неправильностью при ударе при использовании разложения по собственным формам потери устойчивости на переменном интервале [4] позволяет избавиться от предположения, что возмущения, соответствующие различным формам, имеют одинаковый порядок малости. Дается упрощенный метод определения искривленной формы стержня при ударе как системы с «одной» степенью свободы. Эта форма весьма похожа на форму, полученную в экспериментах при ударном сжатии стержней [3]. Рассматривается упругий трехслойный стержень при ударе, а также однородное кольцо при специфических условиях нагружения.

1. Система уравнений, учитывающая взаимное влияние продольных и поперечных колебаний упругого однородного стержня с начальной неправильностью, имеет вид [5]

$$EIw_{xxxx} + EF(u_x w_x)_x + \rho F w_{tt} = f(x, t) \quad (1.1)$$

$$u_{xx} = \rho E^{-1} u_{tt} \quad (1.2)$$

Здесь  $w$ ,  $u$  — нормальное и продольное перемещения сечений стержня;  $x$ ,  $t$  — продольная координата и время;  $E$  — модуль Юнга;  $I$ ,  $F$  — изгибная жесткость и площадь сечения, постоянные вдоль оси стержня;  $\rho$  — плотность материала;  $f(x, t)$  — функция, определяемая начальными возмущениями или несовершенствами.

Рассмотрим шарнирно опертый стержень длины  $l_0$  ( $0 \leq x \leq l_0$ ). Опора, к которой в момент  $t = 0$  прикладывается нагрузка  $N_0$ , значительно превышающая критическую нагрузку Эйлера  $P_e^0$ , перемещается безынерционно. Условия закрепления на другом конце можно не рассматривать, если ограничиться изучением выпучивания стержня до момента

$$t \leq t_0, \quad t_0 = l_0 / c, \quad c = (E / \rho)^{1/2}$$

Здесь  $c$  — скорость звука в материале стержня.

Уравнение (1.2) определяет нагрузку  $N$ , действующую вдоль стержня

$$N = N_0 \quad (x < ct), \quad N = 0 \quad (x \geq ct) \quad (1.3)$$

Уравнение (1.1) принимает вид

$$EIw_{xxxx} + Nw_{xx} + \rho F w_{tt} = f(x, t) \quad (0 \leq x \leq l_0) \quad (1.4)$$

Как известно, изгибные возмущения, определяемые уравнением (1.1) при  $x > ct$ , несущественны. Пренебрежем ими. Примем кроме того, что

$$f(x, t) \equiv 0 \quad (x > ct)$$

Краевые условия для (1.4) на переменном интервале [4]

$$w = w_{xx} = 0 \quad (x = 0), \quad w = w_x = 0 \quad (x = l = ct)$$

Начальные условия для того же уравнения нулевые

$$w = w_t = 0 \quad (t = 0)$$

Легко установить, что асимптотика собственных форм потери устойчивости имеет вид ( $m \rightarrow \infty$ )

$$W_m(x) = \sin(m\pi x / l) \quad (x < l), \quad W_m(x) = 0 \quad (x \geq l) \quad (1.5)$$

Эта асимптотика — собственные формы потери устойчивости шарнирно опертого стержня

$$w = w_{xx} = 0 \quad (x = 0, x = l)$$

Находим асимптотическое решение (1.4)

$$w(x, t) = \sum_{m=1}^{\infty} q_m(t) W_m(x)$$

Используя условие ортогональности  $W_m(x)$  на переменном интервале, получаем для  $q_m(t)$  обыкновенные дифференциальные уравнения с переменными коэффициентами (второстепенные члены опущены)

$$\rho F q_m'' + (\pi / l)^4 EI m^2 (m^2 - \eta^2) q_m = f_m(t) \quad (m = 1, 2, \dots) \quad (1.6)$$

Здесь

$$l = ct, \quad \eta^2 = \frac{N}{P_e}, \quad P_e = \frac{\pi^2 EI}{l^2}, \quad f_m(t) = \frac{2}{l} \int_0^l f(x, t) \sin \frac{m\pi x}{l} dx$$

При  $t = t_0$

$$\eta_0^2 = \frac{N_0}{P_e^0}, \quad P_e^0 = \frac{\pi^2 EI}{l_0^2}, \quad f_m^0 = \frac{2}{l_0} \int_0^{l_0} f(x) \sin \frac{m\pi x}{l_0} dx$$

Пусть хотя бы один член разложения  $f_i$  не равен нулю, когда  $i < \eta_0$ . Тогда  $f_m(t) = 0$ , если  $ct/m$  кратно  $l_0/i$ ; в любой другой момент времени  $f_m(t) \neq 0$  (см. (1.6)), а потому при  $t = t_0$  для всех  $m$   $q_m(t_0) \neq 0$ ,  $q_m'(t_0) \neq 0$ . Следовательно, если пренебречь отражением от опоры  $x = l_0$  при  $t > t_0$  «наиболее быстро меняются те формы, которым соответствует наибольший коэффициент в показателе экспонент функций времени, относящейся к соответствующему движению» [1]. Таким образом, при рассмотрении движения стержня с учетом конечности продольной скорости деформации излишне предположение о том, что начальные возмущения, соответствующие различным статическим формам потери устойчивости, имеют одинаковый порядок малости.

Исследуем уравнение (1.6). Коэффициент перед вторым членом в зависимости от номера уравнения и приложенной нагрузки  $N_0$  может быть положительным, отрицательным и равным нулю; в первом случае имеем колебания, а во втором и третьем — потерю устойчивости. При потере устойчивости этот коэффициент имеет максимум, когда

$$l^* = l/m = \sqrt{2}l_0/\eta_0$$

Отметим, что для заданного стержня при определенной сжимающей нагрузке  $l^* = \text{const}$ . Эта длина волны  $l^*$  не зависит от номера уравнения (1.6).

Введем преобразование координат для уравнения (1.4)

$$x = x, \quad \tau = t - x/c$$

Пространственная координата не претерпела изменения, временная преобразована так, что превратилась в истинное время действия сжимающей нагрузки в фиксированном сечении по длине стержня. Уравнение (1.4) в новых координатах

$$EI[(\cdot)_x - c^{-1}(\cdot)_\tau]^4 w + N[(\cdot)_x - c^{-1}(\cdot)_\tau]^2 w + \rho F w_{\tau\tau} = f(x, \tau) \quad (1.7)$$

Ниже будет показано, что вторыми членами в квадратных скобках можно пренебречь по сравнению с первыми. Опустим эти второстепенные члены. Упрощенное уравнение (1.7) по виду совпадает с (1.4). Принимая во внимание, что максимум роста прогибов приходится на длину волны потери устойчивости  $l^*$ , построим асимптотическое решение упрощенного уравнения (1.7) как системы с «одной» степенью свободы

$$w(x, \tau) = Q(\tau) W^*(x), \quad W^*(x) = \sin \frac{\pi x}{l^*} \quad (0 \leq x \leq l), \quad W^*(x) = 0 \quad (x > l) \quad (1.8)$$

После подстановки (1.8) в это уравнение для  $Q(\tau)$  получается обыкновенное дифференциальное уравнение с постоянными коэффициентами, причем начальные условия нулевые,

$$Q''(\tau) - n^2 Q(\tau) = a^*, \quad n^2 = EI(\rho F)^{-1} (\pi / l^*)^4 \quad (1.9)$$

если предположить, что правая часть уравнения имеет вид

$$\begin{aligned} \text{Решение (1.9)} \quad & f(x, \tau) = a^* \rho F \sin (\pi x / l^*) \quad (0 \leq x \leq \alpha_0 = \text{const}) \\ & Q(\tau) = (a^* / n^2) (\sin n\tau - 1) \end{aligned}$$

Перейдем к старым координатам. Асимптотическое решение уравнения (1.4) как системы с «одной» степенью свободы в фиксированный момент времени  $t_1$  ( $\alpha_0/c \leq t_1 \leq t_0$ )

$$\begin{aligned} w(x, t_1) &= \frac{a^*}{n^2} \left[ \sin \left( nt_1 - \frac{\pi x}{l^*} \right) - 1 \right] \sin \frac{\pi x}{l^*} \quad (0 \leq x < ct_1) \\ w(x, t_1) &= 0 \quad (x \geq ct_1) \end{aligned} \quad (1.10)$$

Рост прогибов стержня наиболее интенсивно происходит с определенной длиной волны, причем соседние волны растут как бы независимо, каждой соответствует свое среднее время действия нагрузки (среднее истинное время), а их максимумы (минимумы) убывают от торца, по которому произведен удар, по экспоненте.

Замечание. Если скорость распространения продольных возмущений по стержню переменна  $c = c(x)$ , то преобразование координат выбирается в виде

$$x = x, \quad \tau = t - \int_0^x \frac{d\xi}{c(\xi)}$$

Остальные рассуждения остаются в силе.

Оценим порядок погрешности, получившейся при отbrasывании второстепенных членов в (1.7). Второй член в квадратных скобках мал по сравнению с основным, если

$$r/l^* \ll 1$$

Здесь  $r$  — радиус инерции сечения стержня. Этому же условию можно придать вид  $N/F \ll E$ , т. е. длина волны потери устойчивости должна быть значительно больше радиуса инерции, а напряжения значительно меньше модуля упругости — условие применимости уравнений (1.1), (1.2).

Полученное решение (1.10) хорошо согласуется с экспериментальными результатами [3]. Упругая линия длинного стержня при ударном сжатии фиксировалась в экспериментах скоростной кинокамерой.

Отметим, что при бесконечно большой скорости распространения напряжений ( $c \rightarrow \infty$  в (1.10)) стержень можно рассматривать как систему с одной степенью свободы, причем этой степени соответствует максимум показателя в экспоненте [1].

2. Система уравнений, аналогичная (1.1) и (1.2), для трехслойного стержня с начальной неправильностью [6]

$$EI(\chi - \vartheta h^2 \beta^{-1} \chi_{xx}),_{xxxx} + EF(u_x w_x)_x + \rho F w_{tt} = f(x, t) \quad (2.1)$$

$$u_{xx} = \rho E^{-1} u_{tt} \quad (2.2)$$

Нормальное смещение  $w$  сечений стержня определяется через функцию  $\chi$

$$w = \chi - h^2 \beta^{-1} \chi_{xx}$$

Здесь  $E$  — приведенный модуль Юнга всего сечения;  $I$  — изгибная жесткость трехслойного пакета, суммарная толщина которого  $h$ ;  $\vartheta$  и  $\beta$  — коэффициенты, характеризующие изгибную жесткость несущих слоев и податливость заполнителя на сдвиг, причем  $\vartheta$  меняется в пределах  $0 \leq \vartheta \leq 1$ ;  $\rho$  — приведенная плотность на единицу длины стержня; остальные обозначения прежние. Заметим, что рассматриваются стержни, для которых  $h/l_0 \ll 1$ .

В момент  $t = 0$  к шарнирно опертому трехслойному стержню приложена нагрузка  $N_0$ , значительно превышающая критическую нагрузку Эйлера  $P_e$ . Нагрузка  $N$ , действующая вдоль стержня, определяется формулами (1.3), причем скорость звука вдоль трехслойного стержня  $c = (E/\rho)^{1/2}$  может быть значительно меньше, чем в однородных конструкциях, из-за приведенных плотности и модуля Юнга.

Уравнение (2.1) принимает вид

$$EI(\chi - \vartheta h^2 \beta^{-1} \chi_{xx}),_{xxxx} + N(\chi - h^2 \beta^{-1} \chi_{xx}),_{xx} + \rho F(\chi - h^2 \beta^{-1} \chi_{xx}),_{tt} = f(x, t) \quad (0 \leq x \leq l_0) \quad (2.3)$$

Начальные условия для (2.3) нулевые, а краевые условия на переменном интервале

$$\chi = \chi_{xx} = \chi_{xxxx} = 0 \quad (x = 0)$$

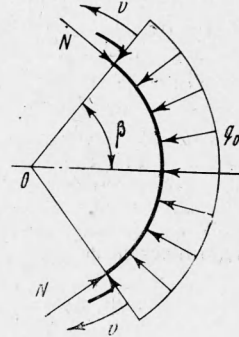
$$\chi_x = \chi_{xxx} = \chi - h^2 \beta^{-1} \chi_{xx} = 0 \quad (x = l = ct)$$

Асимптотика собственных форм потери устойчивости остается прежней (1.5). Для достаточно большого номера  $m$  уравнение (2.3) значительно упрощается

$$(\vartheta EI \chi_{xxxx} + N \chi_{xx} + \rho F \chi_{tt}),_{xx} = -h^{-2} \beta f(x, t)$$

Получился разобранный выше случай. Таким образом, трехслойный стержень при действии нагрузок большой интенсивности ведет себя как однородный, у которого жесткость на изгиб  $\vartheta EI$ .

3. Рассмотрим выпучивание кольца под действием симметричной нагрузки  $q$ . Нагрузка, имеющая большую интенсивность, приложена в момент  $t = 0$  к покоящемуся кольцу (фронт нагрузки перемещается со скоростью  $v$ , превышающей скорость



звука в материале кольца  $c = (E / \rho)^{1/2}$

$$\begin{aligned} q(\beta, t) &= q_0 (-vt / R \leq \beta \leq vt / R) \\ q(\beta, t) &= 0 (-\pi \leq \beta < -vt / R, vt / R < \beta \leq \pi) \end{aligned}$$

Предположим, что кольцо под действием нагрузки  $q$  обжимается безынерционно (см. фигуру). Тогда уравнение, описывающее движение кольца с начальной неправильностью, имеет вид

$$EI R^{-4} w_{,\beta\beta\beta\beta} + NR^{-2} w_{,\beta\beta} + \rho F w_{,tt} = f(\beta) \quad (N = qR) \quad (3.1)$$

Так как изучается действие нагрузок большой интенсивности, то  $N_0 = q_0 R \gg P_e$ . Уравнение (3.1) рассматриваем на переменном интервале, см. п. 1. Система с бесконечным числом степеней свободы подменяется системой с «одной» степенью свободы, но на переменном интервале.

В фиксированный момент времени  $t_1 (0 \leq t_1 \leq t_0, t_0 = \pi R / v)$  асимптотическое представление формы выпущенного кольца как системы с «одной» степенью свободы

$$\begin{aligned} w(\beta, t_1) &= \frac{a^*}{n^2} \left[ \operatorname{ch} \left( nt_1 - \frac{n l_0 \beta}{\pi v} \right) - 1 \right] \cos \frac{\beta l_0}{l^*} \quad \left( 0 \leq \beta < \frac{vt}{R} \right) \\ w(\beta, t_1) &= 0 \quad (\beta \geq vt_1 / R) \end{aligned} \quad (3.2)$$

Эта формула, если учесть, что  $\pi x = l_0 \beta$ , отличается от (1.10) только наличием  $\cos(\beta l_0 / l^*)$  вместо  $\sin(\pi x / l^*)$ , что обусловлено симметрией нагружения. Предельный переход при  $v \rightarrow \infty$  для (3.2) остается в силе.

Поступила 27 X 1967

#### ЛИТЕРАТУРА

- Лаврентьев М. А., Ишлинский А. Ю. Динамические формы потери устойчивости упругих систем. Докл. АН СССР, 1949, т. 64, № 6.
- Вольмир А. С., Кильдидеков И. Г. Исследование процесса выпучивания стержней при ударе. Докл. АН СССР, 1966, т. 167, № 4.
- Малышев Б. М. Устойчивость стержней при ударном сжатии. Инж. ж., МТТ, 1966, № 4.
- Слепян Л. И. Исследование нестационарных деформаций с помощью рядов, определенных на переменном интервале. Изв. АН СССР, Механика, 1965, № 4.
- Болотин В. В. Динамическая устойчивость упругих систем. М., Гостехиздат, 1956.
- Григорьев Э. И., Чулков П. П. Теория упругих трехслойных конструкций в нелинейной постановке. В сб. Расчеты элементов авиационных конструкций, М., Машиностроение, 1965, вып. 4, стр. 99—133.

#### ЭЛЕКТРИЧЕСКИЕ ЯВЛЕНИЯ ПРИ ОБЛУЧЕНИИ КАБЕЛЯ ПОТОКОМ НЕЙТРОНОВ И $\gamma$ -КВАНТОВ

*P. M. Зайдель (Москва)*

Рассмотрено влияние ионизирующих излучений на формирование электрического импульса между обкладками кабеля.

1. Возникновение электрического поля в диэлектрике под действием нейтронов и  $\gamma$ -квантов объясняется в основном поляризацией среды [1—5]. Для нахождения возникающей при этом разности потенциалов между оплеткой и жилой коаксиального кабеля рассмотрим вначале статическую задачу, когда все величины не зависят от времени.

Пусть диэлектрик с проницаемостью  $\epsilon$  заполняет пространство между двумя концентрическими проводящими окружностями радиусов  $r_1 < r_2$  (фиг. 1). Внутренняя металлическая жила ( $0 < r < r_1$ ) защищена наклонными линиями. Наружную металлическую оплетку ( $r = r_2$ ) считаем достаточно тонкой, чтобы можно было не учитывать поглощения в ней потока нейтронов и  $\gamma$ -квантов, падающих на кабель слева, перпендикулярно его оси.

Обозначим через  $\delta$  средний пробег комптоновских электронов в диэлектрике в направлении полета  $\gamma$ -кванта. В том месте, где был выбит электрон, останется положительный ион. Образовавшийся электрический диполь имеет дипольный момент с компонентами  $p_x = -e_0 \delta$ ;  $p_y = 0$ , где  $e_0$  — абсолютная величина заряда электрона.

При облучении нейтронами из атомов будет выбиваться протон отдачи, который вместе с отрицательно заряженным ионом образует диполь обратного знака  $p_x = e_0 \Delta$ ,  $p_y = 0$ , причем  $\Delta$  — пробег протона отдачи. В дальнейшем будем рассматривать только влияние  $\gamma$ -квантов, имея в виду, что эффект нейтронного облучения можно получить изменением знака и заменой  $\delta$  на  $\Delta$ .